

بررسی میزان حساسیت فرسایش حوضه‌آبخیز مدان الموت

قریان وهابزاده^۱، پیام ابراهیمی^۲

۱- استاد بار دانشگاه علوم کشاورزی و منابع طبیعی ساری، ساری، ایران

۲- دانش آموخته کارشناسی ارشد دانشگاه علوم کشاورزی و منابع طبیعی ساری، ساری، ایران ir.p.ebrahimi@sanru.ac.ir

تاریخ دریافت مقاله: ۹۲/۱۰/۲۶ تاریخ تصویب: ۹۲/۵/۲۹

چکیده

استفاده از مدل‌های فرسایش و رسوب یکی از کارآمدترین روش‌ها به منظور تخمین مقدار هدر رفت خاک در حوضه‌های آبخیز می‌باشد. در این تحقیق از ۴ روش MPSIAC BLM، Fargas، Hunt Bowen و MPSIAC Fargas به ترتیب برای محاسبه مقدار هدر رفت خاک و نفوذپذیری در واحدهای کاری مختلف حوضه‌آبخیز مدان الموت واقع در استان قزوین استفاده شد و با خش‌هایی از حوضه که تأثیر عمده‌ای در هدر رفت خاک داشتند با استفاده از روش‌های مذکور مشخص و نتایج آن‌ها با هم مقایسه شد. نتایج نشان داد به ترتیب مدل MPSIAC Fargas با امتیازات ۷۵/۷۵، ۸۱/۵۰ و ۷۳/۴۳ دارای میانگین نزدیک بهم و با فرسایش‌پذیری متوسط بوده و جدول فیض‌نیا منطقه را فرسایش‌پذیر و هانت و بوون نفوذپذیری را بسیار کند ارزیابی نمود. هم‌چنین براساس پاسخ هیدرولوژیکی، زیرحوضه‌های ۴ به مساحت ۰/۰۶ هکتار و ۱ به مساحت ۰/۰۹۱ هکتار بیشترین تأثیر را در صورت وقوع سیل خواهند داشت. در صورتی که برنامه‌های اجرایی جهت مبارزه با فرسایش و تولید رسوب در منطقه صورت گیرد، پیشنهاد می‌شود در اولویت اول به ترتیب در زیرحوضه ۴ و ۱ مورد اجرا قرار گیرند. در صورتی که هدف میزان نفوذ رواناب و جلوگیری از ایجاد سیل باشد به ترتیب زیرحوضه ۴ به مساحت ۰/۰۸۷ هکتار و ۱ به مساحت ۰/۶۴۸ هکتار و ۲ به مساحت ۰/۳۸۶ هکتار در اولویت قرار می‌گیرند.

واژگان کلیدی: MPSIAC, Hunt Bowen, BLM, Fargas, حوضه‌آبخیز مدان، جدول فیض‌نیا.

مقدمه

پذیری واحدهای سنگی است که در مدت کوتاه زیان بسیاری را بر جوامع انسانی تحمیل می‌کند [۱۹]. یکی از مشکلات موجود در طرح‌های حفاظت خاک و کنترل فرسایش عدم شناخت کافی از سنگ شناسی حوضه‌آبخیز است [۱۴]. در زمینه‌ی فرسایش‌پذیری و رسوب تحقیقات پرسن و همکاران [۲۲] و دویکر و همکاران [۱۰] نشان داد ساخت و بافت سنگ‌ها و خاک تولید شده از آن‌ها مهم‌ترین پارامترهای خاک در زمینه ایجاد رواناب و فرسایش‌پذیری حوضه‌آبخیز

حساسیت سازندها به فرسایش، نقش مهمی در تولید رسوب حوضه‌های آبخیز دارد و در بسیاری از موارد، تولید بخش اعظم رسوب از بخش کوچک‌تر حوضه که دارای سازندهای حساس‌تری به فرسایش است صورت می‌گیرد [۱۵]. برهمین اساس اگر با دقت قابل قبولی فرسایش‌پذیری سازند معین شود، می‌توان برای کنترل فرسایش نیز راههای مؤثر و اقتصادی‌تر ارایه نمود. یکی از معضلات اصلی بسیاری از کارهای انجام شده‌ی عمرانی، عدم بررسی میزان فرسایش و فرسایش

واقع در پهنه‌ی رسوی - ساختاری خردۀ قاره ایران مرکزی را بررسی کردند. نتایج طبقه‌بندی نشان داد حساسیت ذاتی و احدهای سنگ‌شناسی مهم‌ترین عامل در فرسایش و تولید رسوی است [27].

احمدی در روشی که به نام روش ژئومورفولوژی ارایه نموده است با به‌کارگیری نقشه‌های سنگ‌شناسی، شب، جهت، ارتفاع و نیز تفسیر عکس‌های هوایی توانسته است به رخدارهای فرسایش دست یافته و شدت فرسایش را تعیین نماید. قابل ذکر است که ایشان روش خود را در حوضه‌ی آبخیز ببالاحدی در زاگرس جنوبی آزموده و آنرا برای ایران مناسب تشخیص داده است [۱]. جلالیان در ارزیابی مقدار رسوی‌دهی با مدل PSIAC در حوضه‌ی آبخیز شمال کارون به این نتیجه رسیده است که مدل PSIAC دارای همبستگی خوبی با مقدار رسوی حاصل از ایستگاه رسوی‌سنگی بوده است [۴]. باقرزاده کریمی در پژوهشی در زیرحوضه‌ی اوزوون دره از حوضه‌ی آبخیز قزل‌اوزن به این نتیجه رسیده است که مدل PSIAC با مقادیر اندازه‌گیری شده مطابقت خوبی داشته و همچنین مدل EPM را مناسب برای سایر مناطق مشابه منطقه‌ی تحقیق دانسته است [۳]. با توجه به سابقه پژوهش در این زمینه حوضه‌ی آبخیز مدان که در یک منطقه خشک و نیمه‌خشک واقع است نیاز دارد تا با توجه به روش‌های مختلف تعیین حساسیت سازند با استفاده از عملیات میدانی و روش‌های تجربی مدل‌ها نقش هر یک از زیرحوضه‌ها در تولید فرسایش مشخص شود. از این‌رو در این پژوهش از چهار روش Fargas، BLM، MPSIAC و Hunt Bowen به ترتیب برای تعیین مناطق دارای پتانسیل هدر رفت خاک و

محسوب می‌شود. هارگون و همکاران در تحقیقات خود به این نتیجه رسیدند که تلفات خاک به‌طور عمده وابسته به تفاوت در زمین‌شناسی و فعالیت‌های انسانی است [17].

ربیه و همکاران با بررسی عرصه‌های مختلف در کالیفرنیا و با استفاده از رادیونوکلئیدها دریافتند میزان فرسایش و حساسیت‌پذیری سنگ‌ها با شرایط اقلیمی رابطه‌ی منطقی برقرار نمی‌نماید اما با خصوصیات سازندها ارتباط معنی‌داری را نشان می‌دهد [20]. متخصصین دیگر ژئومورفولوژیکی منطقه را مهم‌ترین عصر در ایجاد حرکات توده‌ای دانسته و نقش نفوذ‌پذیری و حساسیت به فرسایش را توأمً بررسی نمودند [28, 9, 8, 7]. روشی توسط فارگاس و همکاران ارایه شد که در آن با استفاده از دو عامل فرسایش‌پذیری نوع سنگ و تراکم زهکشی سعی در شناخت منابع منطقه‌ای رسوی‌زا (شدت فرسایش) در سطح منطقه‌ای داشت. محققین مذکور روش خود را در حوضه‌ی آبخیز ژوئن در شمال‌شرقی اسپانیا با سطحی معادل ۱۵۰۰ کیلومترمربع آزمودند که دارای درشت‌نمایی ۷۸/۵٪ بود [11]. در ایران نیز تحقیقاتی مختلفی روی فرسایش‌پذیری سازندها صورت گرفته که نتایج آنان نشان می‌دهد خصوصیات سازندها مهم‌ترین عامل در ایجاد حساسیت و فرسایش‌پذیری محسوب می‌شود [25، 29]. نادر صفت و سعیدیان روند سیل‌خیزی در حوضه‌ی آبخیز کارده خراسان رضوی را مورد بررسی قرار دادند که نتایج نشان داد مهم‌ترین عامل در افزایش نرخ سیل‌خیزی خصوصیات سازندها و زمین‌شناسی منطقه می‌باشد [20].

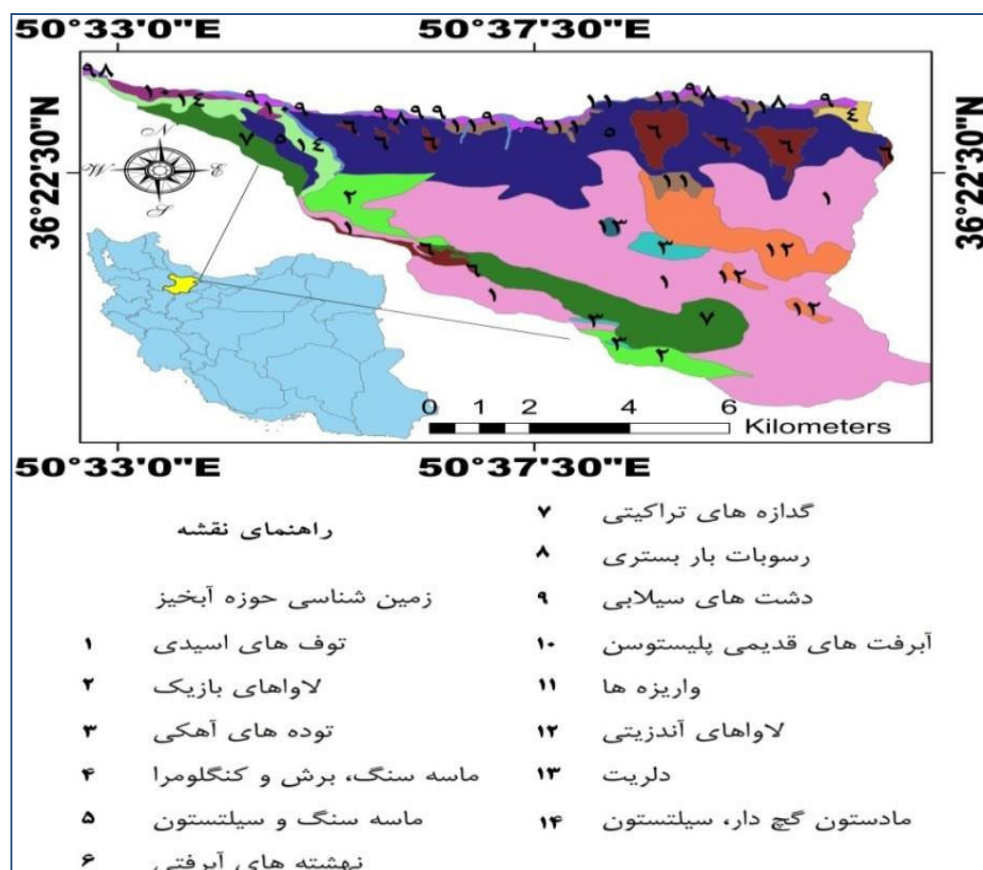
شریعت‌جعفری و همکاران حساسیت ذاتی سازندهای زمین‌شناسی به هوازدگی و فرسایش در حوضه‌های

الموت در محدوده استان قزوین واقع شده است و از لحاظ تقسیمات زیراستانی جزو شهرستان قزوین و از نظر سطوح زیرشهرستان به بخش روبار الموت تعلق دارد (شکل ۱). براساس امتیازات کارشناسی در محدوده مورد مطالعه اقدام به استفاده از روش‌های مذکور نموده و امتیازات هر بخش را مشخص نمودیم. شکل‌های ۲ تا ۵ واحد کوه‌رفتی واریزه‌ها در پای دامنه‌های شیلی واحد Ngm، فرسایش شیاری و آبراهه‌ای شدید و فعال در سطح لایه‌های مادستونی زیر واحد gy، رخساره ژئومورفولوژیک آبرفت‌های بستر رودخانه (Qal) و فرسایش کناری در واحد Q1 در جنوب شرق لایه‌های شیلی واحد Ngc از حوضه آبخیز مدان را نشان می‌دهد.

نفوذپذیری در واحدهای کاری مختلف حوضه آبخیز مدان الموت واقع در استان قزوین استفاده شد.

روش تحقیق

حوضه‌ی آبخیز مدان الموت از نظر موقعیت جغرافیایی بین $36^{\circ}22'30''N$ تا $36^{\circ}37'30''N$ طول شرقی و $50^{\circ}33'0''E$ تا $50^{\circ}37'30''E$ عرض شمالی واقع شده است. وسعت آن برابر $68/13$ کیلومترمربع بوده و حداقل و حداً نزدیک ارتفاع آبخیز مذکور به ترتیب 1301 و 4063 متر می‌باشد. هم‌چنین آبخیز مذکور محصور در بین ارتفاعات طالقان و تخت سلیمان از رشته کوه‌های البرز بوده و از سرشاخه‌های رودخانه الموت رود می‌باشد. از نظر تقسیمات کشوری، حوضه مدان



شکل ۱- موقعیت حوضه آبخیز مدان واقع در زیرحوضه الموت [26]

در بخش‌های جنوب غربی حوضه رخنمون یافته‌اند. بخش‌هایی از قسمت‌های شمالی حوضه تحت پوشش واحد آبرفت‌های قدیم پلیستوسن قرار گرفته و در بخش‌هایی از حاشیه ارتفاعات در کنار رودخانه الموت رود واحد واریزه‌ها و در کنار و بستر رودخانه مذبور واحدهای دشت‌های سیلابی و آبرفت‌های بستر رودخانه دیده می‌شوند. بررسی‌ها نشان می‌دهد که توده‌های لغزشی در زیر واحد مادستون، سیلتسنون و گچ‌دار نوزن در بخش‌های خروجی و بالا دست روستای مدان قابل مشاهده‌اند. (شکل ۱).



شکل ۳- فراسایش شیاری و آبراهه‌ای شدید و فعال در سطح مادستونی زیر واحد gy و رخساره ژئومرفلوژیک

براساس بررسی‌های به عمل آمده محدوده مورد مطالعه بخشی از زون ساختاری البرز و زیزون منطقه جنوبی- مرکزی البرز مرکزی است. واحدهای آذربین و آذراواری ائوسن (سازند کرج) با سنگ شناسی توفهای اسیدی، گدازه‌های آندزیتی، آهک‌های متوسط لایه و توده‌های دلریتی در بخش‌های جنوبی و مرکزی حوضه، واحدهای نوزن با سنگ شناسی ماسه‌سنگ، سیلتسنون، شیل، سنگ رسی و گچ و هم چنین ماسه‌سنگ، برش و کنگلومرا در بخش‌های شمالی حوضه و واحد گدازه‌های تراکیتی کواترنری



شکل ۲- واحد کوه‌رفتی واریزه‌ها (Qst) در پای دامنه‌های لایه‌های شیلی واحد Ngm



شکل ۵- واحد Q1 و توفهای اسیدی (EKa) در جنوب شرق

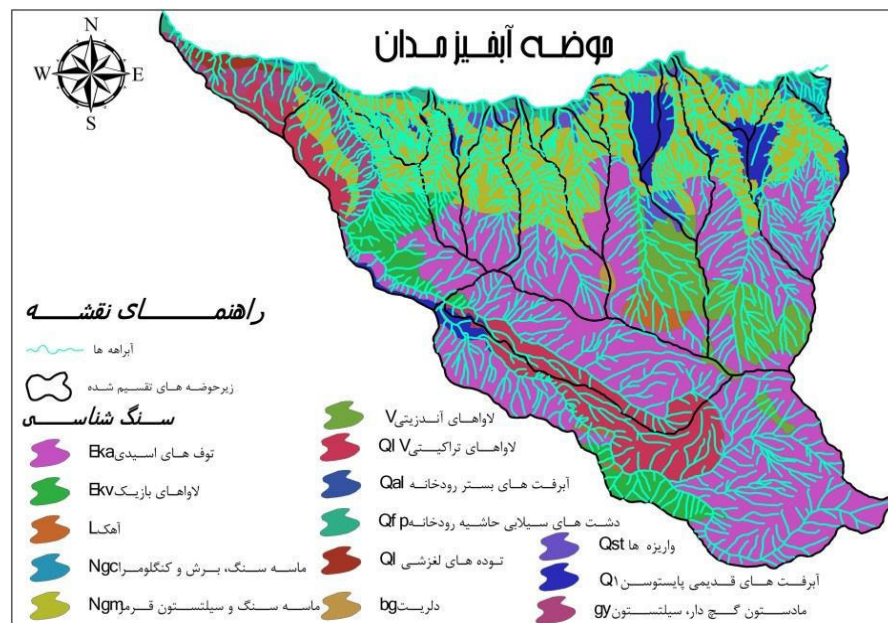


شکل ۴- آبرفت‌های بستر رودخانه (Qal)، آبرفت‌های QfP، آبراهه‌ای شیلی واحد Ngc فراسایش کناری در لایه‌های شیلی واحد Ngc

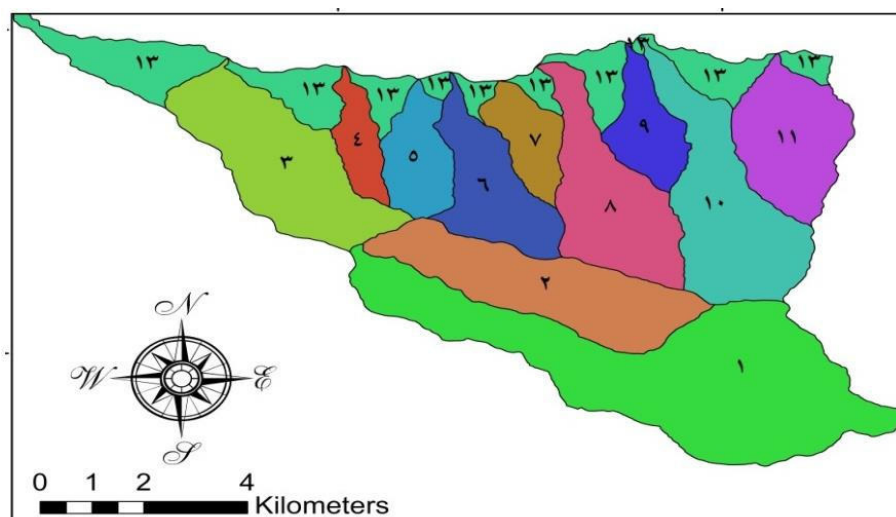
حاصل از توپوگرافی منطقه از دقت قابل قبولی برخوردار شود.

همچنین از نقاط مرتفع به سمت خروجی حوضه اقدام به شماره گذاری یا تعیین ID نمودیم و براساس نقشه زمین‌شناسی سنگ‌شناسی حوضه بررسی گردید (شکل ۷).

با توجه به وضعیت هیدرولوژیکی حوضه‌آبخیز و توپوگرافی منطقه، زیرحوضه‌ها به ۱۳ زیرحوضه (واحد هیدرولوژیکی) بوسیله نرم‌افزار ARC Hydro تقسیم شدند [26] (شکل ۶). سپس با تصویر ماهواره‌ای لندست ETM^+ ۲۰۰۶ این تقسیم‌بندی مورد بررسی قرار گرفت تا واحدهای راهنمای نقشه



شکل ۶- زیرحوضه‌های تعیین شده از طریق تصویر لندست و پاسخ هیدرولوژیکی و توپوگرافی منطقه مورد مطالعه [26].



شکل ۷- زیرحوضه‌های شماره گذاری شده از نقاط مرتفع به سمت خروجی حوضه [26].

روی‌هم اندازی نقشه‌ی آبراهه‌ها و نقشه‌ی واحدهای

سنگی و ارزش‌گذاری میزان تراکم زهکشی در هر واحد سنگی (جدول ۲)، در نهایت تعیین خطر فرسایش با استفاده از ضریب ارزشی می‌باشد (جدول ۳).

Fargas مدل

همانگونه که در بخش مقدمه آورده شد این روش در سال ۱۹۹۷ توسط فارگاس و همکاران ابداع شده است. اجرای این مدل شامل مراحل ذیل می‌باشد. تعیین شاخص فرسایش پذیری (جدول ۱)،

جدول ۱- مقاومت سنگ به فرسایش [11]

مقاومت به فرسایش	جنس سنگ	شاخص سختی
سنگ‌های خیلی سخت	سنگ‌های بازیک	۲-۰
	سنگ‌های اسیدی	۵-۰
	سنگ‌های دگرگونی	۴-۲
	ماسه سنگ‌های سخت شده	۵-۴
سنگ‌های سخت تا سست	سنگ‌های آهکی خردشونده	۴-۳
	دولومیت‌ها	۵-۳
	سنگ‌های پلاستیکی	۷-۶
	مارن و رس‌ژپس	۱۰-۸
سست	آبرفت قدیمی	۸-۴
	آبرفت جدید	۹-۷

جدول ۲- کلاس فرسایش براساس تراکم زهکشی [11]

کلاس	شدت فرسایش	تراکم زهکشی km/km^2	ارزش نسبی
۱	کم	<۰/۱	۲
۲	متوسط	-۰/۱ <۰/۵	۴
۳	زیاد	-۰/۵ <۱	۶
۴	شدید	-۱ <۲	۸
۵	بسیار شدید	>۱	۱۰

جدول ۳- معیار تعیین کلاس خطر فرسایش و رسوب‌زایی

کلاس	میزان خطر	ارزش نسبی
۱	کم	<۱۰
۲	متوسط	۲۰-۱۰
۳	زیاد	۳۰-۲۰
۴	شدید	۴۰-۳۰
۵	بسیار شدید	>۴۰

هر یک از عوامل ۹ گانه (جدول ۴) این امکان ایجاد می‌شود که میزان تولید رسوب در واحدهای مطالعاتی پس از امتیازدهی توسط جدول ۵ محاسبه شود.

MPSIAC مدل

این مدل، اصلاح شده مدل PSIA ناریه شده توسط جانسون و گبهارت می‌باشد [18]. پس از تعیین امتیاز

جدول ۴- عوامل مؤثر در مدل MPSIAC و نحوه امتیازدهی به آن

ردیف	عامل مؤثر در فرسایش خاک و تولید رسوب	نحوه محاسبه امتیاز در روش MPSIAC	شرح متغیرها
۱	زمین شناسی سطحی یا سنگ شناسی	$Y_1=X_1$	X_1 =امتیاز حساسیت سنگ به فرسایش آبی
۲	خاک	$Y_2=1676 X_2$	X_2 =عامل فرسایش پذیری خاک در معادله USLE می‌باشد
۳	آب و هوا	$Y_3=0.2 X_3$	X_3 =بارندگی ۶ ساعته با دوره برگشت ۲ ساله
۴	رواناب (جريان‌های سطحی)	$Y_4=0.2 X_4$	X_4 =(حجم هرزآب سالانه * ^{۰.۳۰} +۰.۳۰ دبی پیک سالانه به متر مکعب بر ثانیه در کیلومتر مربع * ^{۰.۵۰})
۵	پستی و بلندی	$Y_5=0.2 X_5$	X_5 =شیب متوسط حوضه بر حسب درصد
۶	پوشش زمین	$Y_6=0.2 X_6$	X_6 =درصد زمین لخت
۷	استفاده از زمین (کاربری اراضی)	$Y_7=20-0.2 X_7$	X_7 =درصد تاج پوشش
۸	وضعیت فعلی فرسایش	$Y_8=0.25 X_8$	X_8 =وضعیت سطح خاک و فرسایش با استفاده از روش B.L.M انجام گرفته، جهت تعیین این ضریب هفت عامل دخالت داده شده- اند که عبارتنداز ۱- فرسایش سطحی- ۲- لاشیرگ سطحی- ۳- پوشش گیاهی- ۴- آثار تخریب خاک و گیاه- ۵- فرسایش شیاری و ابعاد آن- ۶- جريان‌های سطحی و رسوبات آن- ۷- اشکال فرسایش خندقی (گالی) و درصد آن، به عبارت دیگر مجموع امتیازات مدل B.L.M
۹	فرسایش رودخانه‌ای	$Y_9=1/67 X_9$	X_9 =امتیاز فرسایش خندقی در مدل B.L.M

جدول ۵- تعیین وضعیت فرسایش و دامنه و مقدار کمی آن در مدل

کلاس فرسایش	وضعیت شدت فرسایش	دامنه مقدار کمی فرسایش (مترمکعب در کیلومترمربع)	مجموع امتیازات
V	خیلی زیاد	>۱۴۲۹	>۱۰۰
IV	زیاد	۴۷۶-۱۴۲۹	۷۵-۱۰۰
III	متوسط	۲۳۸-۴۷۶	۵۰-۷۵
II	کم	۹۵-۲۳۸	۲۵-۵۰
I	خیلی کم	<۹۵	۰-۲۵

مدل BLM

جدول فیض‌نیا: واحدهای سنگی و رسوبی حوضه‌ی مورد مطالعه در طیف زمانی ائوسن، عهد حاضر قرار می‌گیرند. این واحدها از نوع ماسه‌سنگ، آندزیت، دلربیت، بازالت، آهک، شیل، سنگ رسی، مواد سیلیستون، کنگلومرا، آبرفت‌های قدیمی، مواد واریزه‌ای، رسوبات دشت سیلانی، آبرفت‌های بستر رودخانه و توده‌های لغزشی می‌باشند [21]. براساس مطالعات صورت گرفته در بخش صحراوی ۱۴ سازند در منطقه مورد شناسایی قرار گرفت (شکل ۲) که براساس جدول فیض‌نیا (جدول ۶) میزان امتیاز هر واحد سنگی می‌تواند حساسیت متفاوتی نسبت به واحد سنگی دیگر داشته باشد (جدول ۷). با استفاده از جدول ۷، رده‌های کمی فرسایش‌پذیری واحدهای سنگ شناسی و توسط جدول ۷، رده‌های کیفی فرسایش‌پذیری واحدهای لیتولوژیک محاسبه گردید.

این روش توسط دفتر مدیریت اراضی آمریکا ابداع شده است و توسط هفت فاکتور حرکت خاک، وجود لاشیرگ در سطح خاک، وضعیت سنگ‌ها، قطعات سنگی تحکیم یافته، وجود فرسایش شیاری، فرم آبراهه‌ها و وجود فرسایش خندقی میزان فرسایش‌پذیری حوضه را تعیین می‌کند. چنان‌چه جمع امتیازات ارزیابی داده شده به ۷ فاکتور مورد نظر، بین ۲۰–۰ باشد، نسبت به فرسایش مقاوم، بین ۴۰–۲۱ تقریباً مقاوم، بین ۸۰–۶۱ متوسط، بین ۸۱، ۶۰–۴۱ خیلی حساس ارزیابی می‌شود. اگرچه ارزیابی عوامل مؤثر در ابتدا به صورت کمی انجام می‌گیرد، اما تقسیم‌بندی نهایی به صورت یک ارزیابی کیفی است. تهیه‌ی نقشه‌ی تیپ فرسایش یا تعیین امتیاز سطحی خاک (Soil Surface Factor) توسط جدول استاندارد BLM محاسبه می‌شود.

جدول ۶- رده‌های کیفی فرسایش‌پذیری واحدهای سنگ شناسی

رده کیفی فرسایش‌پذیری	امتیاز فرسایش‌پذیری*
مقاوم به فرسایش	۰–۲
نسبتاً مقاوم به فرسایش	۲–۴
نسبتاً فرسایش‌پذیر	۴–۶
فرسایش‌پذیر	۶–۸
حساس به فرسایش	۸–۱۰

* عدد حداقل هر رده مربوط به همان رده است به عبارت دیگر امتیاز ۲ در رده مقاوم به فرسایش مربوط به همان رده بوده و در رده دوم که بازه ۲ تا ۴ را شامل می‌شود قرار نمی‌گیرد.

جدول ۷- رده‌های کیفی فرسایش پذیری واحدهای سنگ شناسی

نام سازند، واحد سنگی و یا واحد آبرفتی	نام زیرواحد	نماد در نقشه زمین شناسی	لیتولوزی غالب	امتیاز مقاومت لایه‌های سنگی و آبرفتی در برابر فرسایش [۵]	میانگین وزنی امتیاز سازند، واحدهای سنگی و آبرفتی در محاسبه برابر فرسایش [۵]	امتیاز سازند، واحدهای سنگی و آبرفتی به روشنگردی MPSIAC	رده کیفی سازند، واحدهای سنگی و آبرفتی از نظر فرسایش پذیری
سازند کرج	پخش تفکیک نشده	Eka	توف	۷	۸/۳	۵/۷	نسبتاً فرسایش پذیر
			روانه‌های آندزیتی	۱۱			
			دلریت	۱۱			
			آهک	۷			
		V	آندرزیت	۱۱	۱۱	۳/۵	نسبتاً مقاوم به فرسایش
		bg	دلریت	۱۱	۱۱	۳/۵	نسبتاً مقاوم به فرسایش
		L	آهک	۷	۷	۵/۸	فرسایش پذیر
گدازه‌های بازیک	---	EKV	بازالت	۱۲	۱۲	۲/۹	نسبتاً مقاوم به فرسایش
ماسه‌سنگ، سیلستون، شیل، مادستون و گچ	پخش تفکیک نشده	Ngm	ماسه‌سنگ	۷	۷	۷/۴	فرسایش پذیر
			سیلستون	۷	۷		
			شیل	۵	۵		
	مادستون، گچ و سیلستون	gy	مادستون	۴	۴	۷/۵	فرسایش پذیر
			گچ	۲	۲		
			سیلستون	۷	۷		
	ماسه‌سنگ، برش و کنگلومرا	Ngc	ماسه‌سنگ	۷	۷	۵/۹	نسبتاً فرسایش پذیر
			برش	۷	۷		
			کنگلومرا	۷	۷		
گدازه‌های تراکیتی	---	QIV	تراکیت	۹	۹	۴/۷	نسبتاً فرسایش پذیر
آبرفت‌های قدیمی پلیستون	---	Q1	کابل و پبل در زمینه‌ای از سیلت و رس	۱/۰	۱/۰	۹/۱	حساس به فرسایش
توده‌های لغزشی	---	QL	توده‌های لغزشی در واحد gy	۳	۳	۸/۲	حساس به فرسایش
واریزه‌ها	---	Qst	کابل و پبل در زمینه‌ای از ماسه	۱	۱	۹/۴	حساس به فرسایش
دشت‌های سیلانی	---	Qfp	سیلت، رس و ماسه	۱/۲	۱/۲	۹/۲	حساس به فرسایش
آبرفت‌های بستر رودخانه	---	Qal	کابل و پبل در زمینه‌ای از ماسه	۱	۱	۹/۴	حساس به فرسایش

تخلخل درزهای مفید محاسبه و سپس بر اساس جدول ۸ به عنوان معیار استاندارد هانت مجموع مساحت‌های هر سنگ با نفوذپذیری مشابه در محیط GIS محاسبه شد. به عنوان مثال در زیر حوضه‌ی ۴ مجموع مساحت بخش‌های روانه‌های آندزیتی، دلربیت، آهک و توف که در یک زیرگروه قرار دارند با هم جمع و براساس جدول ۸ از نظر نفوذپذیری در بخش بسیارکند قرار گرفتند و سایر بخش‌ها نیز با دیگر بخش‌ها به صورت تلفیقی و امتیاز بالاتر و مساحت بیشتر طبقه‌بندی شدند. این جدول در ذیل آورده شده است (جدول ۸).

جدول هانت و بوون: در تعیین میزان نفوذپذیری سنگ، علاوه بر اختصاصات بخش بکر سنگ، ویژگی‌های ناپیوستگی‌های آن نیز در این زمینه مؤثر است. لذا پس از تعیین میزان نفوذپذیری بخش بکر سنگ بر اساس نتایج محققان در سایر نقاط دنیا، بر اساس اختصاصات ناپیوستگی‌ها که در طول عملیات صحراوی برداشت شده نفوذپذیری توده سنگ برآورد شده است. ابتدا لیتولوژی سنگ مشخص گردید و توسط مشاهدات صحراوی (شکل‌های ۸ تا ۱۰) درصد تخلخل و نفوذپذیری بخش بکر سنگ و درصد



شکل ۹- ایستگاه درزه‌نگاری شماره (۳) در سنگ سیلتی واحد

شکل ۸- ایستگاه درزه‌نگاری ۴ در ماسه سنگ‌های واحد



شکل ۱۰- ایستگاه درزه‌نگاری ۵ در توف‌های اسیدی واحد

جدول ۸- تخلخل و نفوذپذیری بخش بکر سنگ و توده سنگ در حوضه آبخیز مدان الموت [30]

طبقه بندي کفی نفوذپذیری	میزان نفوذپذیری (Cm/h)	درصد تخلخل در زه- ای مفید	نفوذپذیری بخش بکر سنگ (Cm/h)	درصد تخلخل بخش بکر سنگ	لیتولوژی	نام سازند، واحد سنگی و آبرفتی
بسیار کند	۰/۵-۱/۲۷	۲/۱	<۱	۰/۰۰۱-۵	توف	بخش تفکیک نshedه (توفهای اسیدی) Eka
	۰/۵-۱/۲۷	۲/۸۶	<۱	۰/۰۰۱-۵	روانه‌های آندرزیتی	
	۰/۵-۱/۲۷	۵	<۱	۰/۰۰۱-۵	دلریت	
	۰/۵-۱/۲۷	۱/۳۳	۰/۰۵	۰/۰۰۱-۵	آهک	
بسیار کند	۰/۵-۱/۲۷	۲/۸۶	<۱	۰/۰۰۱-۵	روانه‌های آندرزیتی V	بخش تفکیک شده
	۰/۵-۱/۲۷	۵	<۱	۰/۰۰۱-۵	دلریت bg	
	۰/۵-۱/۲۷	۱/۳۳	۰/۰۵	۰/۰۰۱-۵	آهک L	
	۰/۵-۱/۲۷	۲/۹	<۱	۰/۰۰۱-۵	بازالت	
کند - بسیار کند	۱/۲۷-۳/۸۳	۵	۱/۲۹	۰/۱-۲۵	ماسه سنگ	ماسه سنگ، سیلتستون، شیل، Ngm
	۰/۵-۱/۲۷	۴/۸	۰/۰۵	۰/۰۰۱-۵	سیلتستون	
	۰/۵-۱/۲۷	۵/۸۳	۰/۰۵	۵-۱۵	شیل	
بسیار کند	۰/۵-۱/۲۷	۴/۸	۰/۰۵	۰/۰۰۱-۵	سیلتستون	سیلتستون، مادستون، گچ gy
	۰/۵-۱/۲۷	۱/۲	$۱/۰۸ \times 10^{-۴}$	۲/۹	مادستون	
	۰/۵-۱/۲۷	۱/۱	۰/۰۲	۰/۰۰۱-۵	گچ	
کند - بسیار کند	۱/۲۷-۳/۸۳	۳/۱	۱/۲۹	۰/۱۰۰-۲۵	ماسه سنگ	ماسه سنگ، برش، کنگلومرا، Ngc
	۰/۵-۱/۲۷	۰/۶۷	۱/۲۹	۰/۱-۲۵	برش	
	۰/۵-۱/۲۷	۰/۶۷	۱/۲۹	۰/۱-۲۵	کنگلومرا	
بسیار کند	۰/۵-۱/۲۷	۲/۲	<۱	۰/۰۰۱-۵	تراکیت	گدازه‌های تراکیتی QIV
متوسط	۳/۸۱-۷/۶۲	---	۳/۸۱-۷/۶۲	۲۵-۳۵	کابل، پبل در زمینه‌ای از سیلت و رس	آبرفت‌های قدیمی پلیستون Q1
بسیار کند	۰/۵-۱/۲۷	۴/۷	$۱/۰۸ \times 10^{-۴}$	۰/۰۰۱-۵	توده لغزشی در واحد gy	توده‌های لغزشی Q1
متوسط	۳/۸۱-۷/۶۲	---	۳/۸۱-۷/۶۲	۲۵-۳۵	کابل و پبل در زمینه‌ای از ماسه	واریزه Qst
کند	۱/۲۷-۳/۸۳	---	۱/۲۷-۳/۸۳	۲۵-۳۵	سیلت، رس و ماسه	دشت سیلابی Qfp
تند	۳/۸۱-۷/۶۲	---	۳/۸۱-۷/۶۲	۲۵-۳۵	کابل و پبل در زمینه‌ای از ماسه	آبرفت‌های بستر رودخانه Qal

نتایج و بحث

فرسایش تبدیل و پس از میانگین‌گیری وزنی برای هر واحد سنگی (بر اساس گسترش سطحی هر سنگ) امتیاز حساسیت به فرسایش هر سنگ محاسبه شد. همچنین گسترش سطحی هر یک از رده‌های کیفی فرسایش در واحدهای هیدرولوژیک حوضه‌ی آبخیز مورد مطالعه در محیط نرم‌افزار Arc GIS به هکتار محاسبه شد (جدول ۹).

تعیین مقاومت سنگ‌ها: با توجه به (جدول ۱تا ۸) و با استفاده از جدول فیض‌نیا و اختصاصات مؤثر در فرسایش‌پذیری، میزان مقاومت سنگ‌ها در برابر فرسایش تخمین زده شده و در ادامه براساس مشاهدات صحراوی داده‌ها اصلاح گردید [۵]. سپس ویژگی مقاومت در برابر فرسایش به حساسیت به

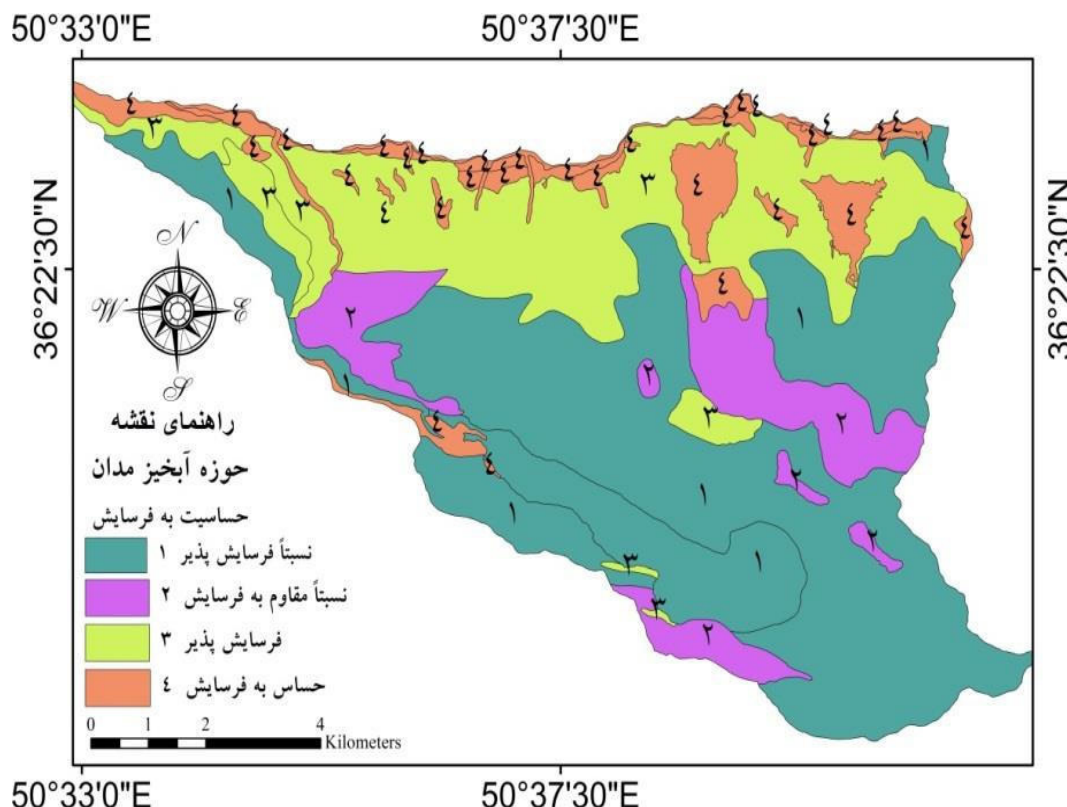
جدول ۹- گسترش سطحی هر یک از رده‌های کیفی نفوذپذیری واحدهای سنگی در حوضه‌ی آبخیز مدان الموت

واحد کاری	بسیارکند	کند تا بسیارکند	متوسط	تند	کند	جمع
۱	۱۵۴۴/۶۴۸	---	۳۰/۷۵۷	---	---	۱۵۷۵/۴۰۰
۲	۶۸۰/۳۸۶	---	۵/۸۲۹	---	---	۶۸۶/۲۱۵
۳	۵۰۹/۷۹۳	۱۶۳.۷۸۹	۱۵/۰۴۶	۱۶۹۷	۰/۰۶۶	۷۰۵/۶۶۴
۴	۲۷۳۴/۸۲۷	۱۶۳/۷۸۹	۵۱/۶۳۲	۱۶۹۷	۰/۰۶۶	۲۹۶۷/۲۸۴
۵	۵۸/۳۴۴	۸۹/۵۴۵	۲/۵۷۸	۲/۵۴۹	۱/۲۶۹	۱۵۴/۲۸۰
۶	۱۰۳/۵۹۷	۱۳۹/۶۶۰	۶/۰۹۰	۳/۷۳۹	۰/۶۴۸	۲۵۳/۷۸۵
۷	۲۲۰/۰۴۳	۱۶۷/۰۹۲	۰/۱۱۹	۰/۴۸	۲/۰۷۹	۳۹۴/۸۱۳
۸	۵۰/۰۳۴	۱۴۰/۰۴۳	۱۳/۰۴۸	۰/۳۴	۲/۰۹۹	۲۰۶/۰۶۴
۹	۴۰۹/۲۴۶	۷۸/۱۹۷	۲۶/۹۸۷	۰/۰۴۴	۰/۳۴۳	۵۶۴/۸۱۷
۱۰	۴۵/۶۹۹	۱۲۰/۰۸۴	۶۲/۰۴	۰/۰۶	۰/۹۶۳	۲۳۳/۸۴۶
۱۱	۵۲۶/۲۰۹	۱۴۰/۷۵۳	۳۱/۳۱۱	۰/۰۴۳	۱/۶۵۷	۶۹۹/۹۶۳
۱۲	۲۳۰/۳۶۶	۱۷۲/۹۹	۶۸/۹۹۰	۰/۰۴۳	۱/۷۲۶	۴۷۴/۰۸
۱۳	۲۱۳/۳۹۱	۳۰۰/۳۴۴	۱۴۴/۹۶۸	۳۷/۰۶۱	۱۱۲/۰۸۱	۸۶۳/۳۵۵
مجموع	۴۶۴۱/۷۵۶	۱۵۷۲/۰۱۲	۴۰۷/۷۳۳	۶۶/۸۱۹	۱۲۳/۴۷۲	۶۸۱۲/۲۹۲
میانگین	۲۳۰/۳۶۶	۱۴۰/۷۵۳	۲۶/۹۸۷	۲/۰۴۹	۱/۲۶۹	۵۶۴/۸۱۷

مساحت هر بخش نقشه نهایی حاصل گردید. شکل ۳ نشان می‌دهد با استفاده از روش‌های مذکور و لایه‌های سنگی موجود و نظر کارشناسانه محدوده مورد مطالعه بخش اعظم جنوب حوضه مدان در رده نسبتاً فرسایش پذیر قرار گرفته است.

قسمت‌های شمال حوضه در بخش خروجی که محل تجمع آبرفت‌های حاصله از دامنه حوضه می‌باشد دارای حساسیت به فرسایش بوده و بهخصوص در مجاورت رود فصلی شمال حوضه این بخش به صورت متمرکز در معرض فرسایش قرار دارد. برهمین اساس حوضه مدان الموت به ۴ بخش حساسیت پذیری در محیط GIS تقسیم و در شکل ۱۱ نشان داده شده است.

تعیین امتیازات حساسیت به فرسایش: با توجه به امتیاز لایه‌های سنگی و آبرفتی در برابر فرسایش کمترین امتیاز حساسیت به فرسایش در حوضه‌آبخیز مدان الموت مربوط به لاوهای بازیک بوده و بیشترین امتیاز حساسیت به فرسایش مربوط به واریزه‌ها، آبرفت‌های بستر رودخانه و دشت‌های سیلانی می‌باشد [12]. با توجه به سازندهای موجود در منطقه مساحت هر یک از زیرحوضه‌ها براساس مقاومت به فرسایش و حساسیت به فرسایش تعیین شد (جدول ۱۰). در این بخش مجموع امتیازات مربوط به هر روش تعیین و سپس میانگین آن‌ها به دست آمد. هر روش به صورت یک لایه در محیط GIS ترسیم شد و با تلفیق لایه‌ها از نظر حساسیت به فرسایش و



شکل ۱۱- حساسیت زیرحوضه‌ها نسبت به فرسایش با استفاده از مدل‌های MPSIAC، BLM، Fargas

جدول ۱۰- گسترش سطحی هر یک از رده‌های کیفی حساسیت به فرسایش واحدهای سنگی در واحدهای

واحد کاری	نسبتاً فرسایش پذیر	نسبتاً مقاوم به فرسایش	فرسایش پذیر	حساس به فرسایش	جمع
۱	۱۳۸۹/۰۶	۱۴۳/۲۷۵	۱۲/۳۰۹	۳۰/۷۵۷	۱۵۷۵/۴۰۵
۲	۶۶۵/۳۵۴	۱۵/۰۳۲	---	۵/۸۲۹	۷۸۶/۲۱۵
۳	۲۳۹/۸۹	۱۸۳/۹۱	۲۴۶/۰۲۴	۳۰/۸۴	۷۰۵/۶۶۴
۴	۲۲۹۴/۳۰۸	۳۴۲/۲۱۷	۲۵۸/۳۳۳	۷۲/۴۲۶	۲۹۶۷/۲۸۴
۵	۴۰/۴۲۲	۱۷/۹۲۳	۸۹/۵۴۵	۷/۳۹۶	۱۵۴/۲۸۶
۶	۱۰۳/۵۹۷	---	۱۳۹/۶۶۵	۱۰/۵۲۳	۲۵۳/۷۸۵
۷	۲۱۱/۴۲۸	۸/۶۱۶	۱۶۷/۰۹۲	۷/۶۷۸	۳۹۴/۸۱۴
۸	۵۰/۰۳۴	---	۱۴۰/۰۴۳	۱۰/۹۸۷	۲۰۶/۰۶۴
۹	۲۰۲/۳۸۹	۱۹۵/۶۸۴	۱۳۹/۳۷	۲۷/۳۷۴	۵۶۴/۸۱۷
۱۰	۳۷/۱۲۶	۹/۵۷۲	۱۲۵/۰۸۴	۶۳/۰۶۳	۲۳۳/۸۴۰
۱۱	۳۲۷	۱۹۹/۲۰۸	۱۴۰/۷۵۳	۳۳	۷۹۹/۹۶۱
۱۲	۲۴۶/۷۴۶	---	۱۵۶/۶۱	۷۰/۷۲۸۵	۴۷۴/۰۸۱
۱۳	۹۹/۸۷۲	---	۴۱۷/۷۷۳	۳۴۵/۷۱	۸۶۳/۳۵۰
مجموع	۳۶۱۱/۹۲۲	۷۷۳/۲۲	۱۷۷۲/۲۶۸	۶۰۲/۸۸۲	۶۸۱۲/۲۹۲
میانگین	۲۱۱/۴۲۸	۱۴۳/۲۷۵	۱۴۰/۳۹۸	۳۰/۷۵۷	۵۶۴/۸۱۷

روش‌های به کار رفته از امتیاز کمتری برخوردار بوده و مقاوم‌ترین واحد نسبت به فرسایش می‌باشد. هم‌چنین واحدهای کاری ۵، ۸ و ۱۳ نیز از حساسیت کمتری نسبت به فرسایش برخوردار می‌باشند. به طور کلی روش‌های تجربی Fargas، BLM و MPSIAC فرسایش‌پذیری متوسط را برای حوضه مشخص کردند و روش امتیازات فیض‌نیا و امتیازات نفوذ‌پذیری هانت و بوون به ترتیب حساسیت حوضه را فرسایش‌پذیر و نفوذ را بسیار کند تعیین کردند. جدول ۱۱ مجموع امتیازات روش‌های Fargas، BLM، MPSIAC، از روش‌های امتیازات براساس جدول نهایی، هر یک از روش‌های ارزیابی فرسایش را متوسط و نفوذ‌پذیری را بسیار کند نشان می‌دهد. اما امتیازات حاصل از جدول فیض‌نیا بخش اعظم حوضه را فرسایش‌پذیر نشان می‌دهد.

اولویت‌های برنامه‌ریزی: در جدول ۱۰ زیر حوضه ۴ و ۱ بیشترین مساحت حساسیت به فرسایش و زیر حوضه ۵ کمترین مساحت حساسیت به فرسایش را به خود اختصاص می‌دهد. قسمت اعظم زیر حوضه ۴ و ۱ به ترتیب ۲۲۹۶/۳۰۸ هکتار و ۱۳۸۹/۰۶ هکتار نسبتاً فرسایش‌پذیر بوده و در مجموع و میانگین، بخش نسبتاً فرسایش‌پذیر به ترتیب ۳۶۱۱/۹۲۲ و ۲۱۱/۴۲۸ در حوضه مورد مطالعه نسبت به سایر رده‌ها بالاتر می‌باشد. با توجه به نتایج حاصل از به کارگیری روش‌های مختلف ارزیابی فرسایش در حوضه‌ی آبخیز مشخص گردید که واحد کاری ۴ در همه روش‌های به کارگرفته شده از امتیاز بالایی برخوردار می‌باشد بنابراین این واحد کاری را می‌توان بعنوان فرسایش پذیرترین واحد حوضه معرفی کرد. واحدهای کاری ۲، ۱۱ و ۱۲ نیز از حساسیت بالایی نسبت به فرسایش برخوردار می‌باشند. واحد کاری ۱۰ نیز تقریباً در همه

جدول ۱۱- امتیازات حاصل از به کارگیری روش‌های مختلف در حوضه‌آبخیز مدان الموت

واحد کاری	امتیازات Fargas	امتیازات MPSIAC	امتیازات BLM	امتیازات فیض‌نیا [۵]	امتیازات هانت و بوون
۱	۴۴/۱	۵۱/۳	۴۵	۷/۴	متوسط
۲	۳۵/۷	۴۷/۱	۴۲/۸	۷/۵	متوسط
۳	۴۸/۱	۴۴/۴	۵۰/۵	۵/۹	بسیار کند
۴	۳۲/۶	۴۲/۴	۳۹	۳/۵	بسیار کند
۵	۴۶/۷	۶۲/۴	۴۶	۵/۸	بسیار کند
۶	۳۲/۸	۵۶/۶	۳۶/۵	۹/۴	تند
۷	۳۰/۷	۴۹/۱	۴۵	۹/۲	تند
۸	۴۶/۷	۴۷/۴	۴۸/۴	۴/۷	بسیار کند
۹	۴۴/۱	۴۹/۲	۵۰/۷	۹/۱	تند
۱۰	۳۵/۷	۵۳/۲	۳۹/۳	۵/۷	بسیار کند
۱۱	۴۶/۷	۴۹/۸	۳۵/۷	۳/۵	بسیار کند
۱۲	۴۸/۱	۵۹/۱	۵۰/۷	۸/۲	تند
۱۳	۳۲/۸	۴۸/۶	۳۹	۲/۹	بسیار کند
مجموع	۵۲۹/۸	۶۶۰/۶	۵۶۸/۶	۸۱/۸	-
میانگین	۴۰/۷۵	۵۰/۸۱	۴۳/۷۳	۷/۲۹	-
ارزیابی	متوسط	متوسط	متوسط	فرسایش‌پذیر	بسیار کند

حوضه‌های هیدرولوژی یک حوضه‌ی آبخیز ارزیابی نمود. همچنین می‌توان میزان فرسایش و ضربی فرسایش‌پذیری زیر‌حوضه‌ها و کل حوضه‌ی آبخیز را محاسبه نمود تا دقت و اطمینان کار در استفاده از مدل‌های تجربی بدست آید [۲]. نتایج کار ایشان نشان می‌دهد که میزان رسوب ویژه سالیانه تخمین زده شده با استفاده از دو مدل EPM و PSIAC دارای تفاوت‌هایی با یکدیگر می‌باشند که تصمیم‌گیری را در مورد تعیین میزان رسوب برای هر یک از واحدها و زیر‌حوضه‌ها مشکل می‌کند. اما پس از تأثیر عوامل ژئوموفولوژیکی بر روی مدل PSIAC مشاهده می‌شود که میزان رسوب ویژه سالیانه تخمین زده با استفاده از دو مدل EPM و PSIAC به یکدیگر نزدیک شده که این امر موجب اطمینان نسبی از صحت مقادیر برآورده شده توسط دو مدل فوق را فراهم می‌آورد. در این پژوهش نیز پس از تعیین واحدها و هر رخساره‌ی زمین‌شناسی اقدام به بررسی فرسایش و نفوذپذیری گردید که نتایج سنگ‌شناسی در پژوهش احمدی و محمدی و پژوهش حاضر نشان می‌دهد بخش بکر سنگ اهمیت بسیار بالایی در تولید رسوب و فرسایش دارد. این نتیجه زمانی مشهود است که زیر‌حوضه‌ی ۲ در تحقیق احمدی و محمدی [۱] نسبت به رخساره توده‌سنگی حساسیت شدیدتری نشان می‌دهد. این پژوهش نیز نقش توده سنگی یا بخش بکر سنگ را معیار سنجش و ارزیابی قرار داده و هر یک از واحدها را براساس آن تقسیم‌بندی و سپس براساس مساحت فرسایش‌پذیری اولویت‌بندی می‌نماید. این پژوهش نیز نشان می‌دهد همانند تحقیقات احمدی و محمدی نقش بکر سنگ مهم‌ترین عامل در تعیین حساسیت‌پذیری حوضه‌ی آبخیز مدان

در این تحقیق برای اولین بار در ایران از مدل‌های MPSIAC، BLM، Fargas حساسیت به فرسایش و نفوذپذیری هانت و بوون در حوضه‌ی آبخیز مدان به صورت منسجم استفاده شد. نتایج نشان داد در روش فارگاس و همکاران، MPSIAC و جدول فیض‌نیا به طور میانگین شدت فرسایش متوسط می‌باشد و در روش BLM نیز سطح حوضه دارای شدت فرسایش متوسط و میزان نفوذپذیری کل حوضه بسیار کند می‌باشد. همچنین با وجود در نظر گرفتن دو عامل در مدل فارگاس و همکاران و هفت عامل در مدل BLM، ۹ عامل در MPSIAC و تنها در نظر گرفتن بخش بکر سنگ در جدول فیض‌نیا در حالت کالی روش‌ها دارای توافق با یکدیگر در شدت فرسایش از نظر کیفی می‌باشند. از دیگر مدل‌های تعیین شدت فرسایش می‌توان به مدل‌های FAO و PSIAC اشاره کرد [۱]. اما در تحقیق حاضر برای اولین بار از چهار مدل Fargas، MPSIAC، BLM، جدول فیض‌نیا به صورت مقایسه‌ای در کشور استفاده شده است. از مزایای مدل‌های مورد استفاده در این تحقیق کم بودن عوامل در مدل فارگاس و جداول فیض‌نیا می‌باشد، بنابراین در صورتی که مطالعات در مرحله مقدماتی و توجیهی باشد می‌توان از روش فارگاس استفاده نمود. علاوه بر این مزیت در مراحل تفضیلی و دقیق‌تر می‌توان از مدل‌های MPSIAC، BLM، جدول فیض‌نیا و در مراحل تکمیلی از روش فارگاس استفاده نمود. علاوه بر استفاده کرد. احمدی و محمدی برای اجرای مدل‌های PSIAC و EPM به این نتیجه رسیده‌اند که در ابتدا باید حوضه‌ی آبخیز به واحد، تیپ، رخساره و واحد کاری تقسیم شود و عوامل مدل‌ها را در زیر

صورت گیرد، پیشنهاد می‌شود در اولویت اول به ترتیب زیر حوضه ۴ و ۱، در اولویت دوم به ترتیب زیر-حوضه‌های ۲، ۱۲، ۱۱، ۳، ۷، ۹ و در اولویت سوم به ترتیب زیر-حوضه‌های ۶، ۱۳، ۸، ۵، ۱۰ مورد اجرای طرح‌های مبارزه با فرسایش قرار گیرند. در صورتی که هدف میزان نفوذ رواناب و جلوگیری از ایجاد سیل باشد به ترتیب زیر-حوضه ۴ به مساحت ۲۷۳۴/۸۲۷ هکتار و به مساحت ۱۵۴۴/۶۴۸ هکتار در اولویت اول، زیر-حوضه‌های ۲، ۱۱، ۳، ۱۲، ۹، ۷، ۱۳ به ترتیب در اولویت دوم و زیر-حوضه‌های ۶، ۵، ۸، ۱۰ به ترتیب در اولویت سوم قرار می‌گیرند. منطقه‌ی مورد مطالعه بیشتر از نوع سازند کرج بوده و شامل توف، روانه‌های آندزینی، درلیت و آهک می‌باشد و ویژگی‌های این سازند نقش مؤثری در مقاومت به فرسایش حوضه‌ی آبخیز مذکور دارد. نتایج این تحقیق بررسی‌های صورت گرفته توسط قلی پوری و همکاران را تأیید نموده و عامل زمین‌شناسی را مهم‌ترین عامل در فرسایش برآورد می‌نماید [23].

نتیجه گیری

نتایج این پژوهش همانند تحقیقات [۶]. مدل Fargas را تنها دو عامل فرسایش‌پذیری نوع سنگ و تراکم زهکشی را در هر واحد سنگی در نظر می‌گیرد در حالی که مدل BLM شامل هفت عامل فرسایش سطحی، لاسبرگ سطحی، پوشش سنگی سطح زمین، آثار تخریب در سطح زمین، فرسایش شیاری سطحی، آثار رسوبگذاری حاصل از جریان و توسعه‌ی فرسایش خندقی می‌باشد که برگرفته از تیپ‌های فرسایشی می‌باشد. نتایج تحقیقات نوجوان و همکاران نشان داد در روش فارگاس و همکاران ۹/۷۲٪ سطح حوضه

می‌باشد و معیار تصمیم‌گیری حساسیت به فرسایش برآورد شده است. با توجه به شرایط طبیعی، در کشور مدل خاصی برای برآورد فرسایش و رسوب به صورت کمی وجود ندارد و اگر هم از مدلی استفاده شود بیشتر جنبه‌ی کیفی داشته و جزو مدل‌های وارداتی محسوب می‌شود. لذا پیشنهاد می‌شود با در نظر گرفتن عوامل مختلف مؤثر در فرسایش به دنبال ایجاد مدل‌های متناسب با شرایط طبیعی کشور باشیم. در کشور ایران به دلیل کمبود و یا نواقص آماری اطلاعات مورد نیاز مدل‌های مورد بررسی، از بسیاری از مدل‌ها استفاده نمی‌شود. در پژوهش‌های صورت گرفته از جمله احمدی و محمدی در مطالعه‌ای که به ارزیابی مدل‌های EPM و PSIAC به دلیل کمبود آمار و اطلاعات مورد نیاز انجام دادند، از روش MPSIAC استفاده نموده و با تهیه‌ی نقشه‌ی ژئومورفولوژی و تعیین رخساره‌ها مدل PSIAC را تکمیل کردند [۲]. لذا اهمیت مدل‌هایی نظیر Fargas و BLM قابل توجه است. با توجه به جداول تعیین حساسیت به فرسایش و نفوذپذیری رواناب سازندها و نقشه‌های به دست آمده و مساحت هر یک از رده‌های کیفی طبقه‌بندی، قسمت اعظم حوضه‌ی آبخیز مدان الموت نسبتاً فرسایش‌پذیر بوده و میزان نفوذ رواناب در آن کند است. امتیاز حساسیت به فرسایش این منطقه با توجه به جداول امتیازات به طور متوسط ۵/۷ بوده و از نظر حساسیت در رده تقریباً متوسطی قرار می‌گیرد.

نتایج این پژوهش نشان می‌دهد جهت پیش‌گیری از فرسایش خاک و ایجاد سیل زیر-حوضه‌های ۴ و ۱ در اولویت بوده و سایر زیر-حوضه‌ها در اولویت‌های بعدی قرار می‌گیرند. در صورتی که برنامه‌های اجرایی جهت مبارزه با فرسایش و تولید رسوب در منطقه

منابع

- ۱- احمدی، ح؛ (۱۳۷۸)؛ ژئومورفولوژی کاربردی، جلد ۱ (فرسایش آبی)، انتشارات دانشگاه تهران. چاپ سوم. ۶۸۸ ص.
- ۲- احمدی، ح و محمدی، ع. ا؛ (۱۳۸۹)؛ بررسی تخمین رسوب با استفاده از مدل‌های PSIAC و EPM با تأثیر عوامل ژئومورفولوژی (مطالعه موردی: حوضه‌ی آبخیز دمنک)، فصلنامه علمی- پژوهشی تحقیقات مرتع و بیابان ایران، دوره هفدهم شماره ۳-۱، ۶-۱ ص.
- ۳- باقرزاده‌کریمی، م؛ (۱۳۷۲)؛ بررسی کارایی مدل‌های برآورد فرسایش و رسوب و تکنیک‌های سنجش از دور و GIS در مطالعات فرسایش خاک، پایان‌نامه کارشناسی ارشد. دانشکده منابع طبیعی تربیت مدرس. ۹۴ ص.
- ۴- جلالیان، ا؛ (۱۳۷۱)؛ مطالعات کیفی و کمی فرسایش خاک در حوضه‌ی آبخیز شمالی رودخانه کارون، سومین کنگره علوم خاک ایران. دانشکده کشاورزی. دانشگاه تهران و مؤسسه تحقیقات خاک و آب وزارت کشاورزی ۱-۸ ص.
- ۵- فیض‌نیا، س؛ (۱۳۷۴)؛ مقاومت سنگ‌ها در برابر فرسایش در اقالیم مختلف ایران، مجله منابع طبیعی ایران، شماره ۴۷، ۳۲-۴۰ ص.
- ۶- نوجوان، م؛ محمدی، ع؛ غلامی، و؛ (۱۳۹۱)؛ تعیین شدت فرسایش با استفاده از مدل‌های Fargas و BLM مورد: حوضه‌ی آبخیز بندره، مجله جغرافیا و توسعه، شماره ۲۹، ۱۱۹-۱۳۰ ص.
- 7- Avanzi, G. D., Giannechini, R., and Puccinelli, A., (2004), The influence of the geological and geomorphological settings on shallow landslide, an example in a temperate climate environment: the June 19. 1996 event in northwestern Tuscany (Italy). Eng. Geol. 73(3-4): 215-228pp.
- 8- Brideau, M. A., Stead, D., Roots, C., and Orwin, J., (2007), Geomorphology and engineering geology of a landslide in ultramafic rocks. Dawson city, Yukon", Eng. Geol. 89(3-4): 171-194pp.
- 9- Chen, H., and Lee, C. F., (2004), Geohazards of slope mass movement and its prevention in Hong Kong. Eng. Geol, 25pp.
- 10- Duiker, S.W., Flanagan, D. C., and Lal, R., (2001), Erodibility and infiltration characteristics of southwest Spain. Catena 45(2): 103-121pp.

دارای شدت فرسایش کم و ۹۰/۲۷٪ حوضه دارای شدت فرسایش متوسط می‌باشد و در روش BLM ۵۰/۶۳٪ سطح حوضه دارای شدت فرسایش کم و ۴۹/۳۶٪ سطح حوضه دارای شدت فرسایش متوسط می‌باشد. همچنین با وجود در نظر گرفتن دو عامل در مدل فارگاس و همکاران و هفت عامل در مدل BLM در حدود ۱۹/۲۰۶٪ از سطح اراضی باشد فرسایش کم و ۵۴/۶۴ از سطح اراضی با شدت فرسایش متوسط و در حالت کلی ۷۳/۸۵٪ از سطح حوضه مورد مطالعه در روش Fargas و BLM دارای توافق با یکدیگر از نظر شدت فرسایش می‌باشند. تمامی نتایج به دست آمده از این پژوهش نیز میزان حساسیت به فرسایش را متوسط ارزیابی می‌نماید.

علاوه بر این همانند تحقیقات فیض‌نیا و همکاران این پژوهش نیز نقش سازنده‌های حساس به فرسایش را در تولید رسوب مؤثر می‌داند و مساحت هر یک را در نفوذ رواناب قابل توجه می‌داند [13]. به طور کلی سه روش Fargas، BLM و MPSIAC از نظر امتیاز دستاورد این پژوهش پیشنهاد می‌نماید به‌منظور تعیین دقیق نقش حساسیت به فرسایش و نفوذپذیری عوامل از روش AHP استفاده شود تا با توجه به پژوهش‌ها و اهداف آن‌ها نقش هر یک از این عوامل را در هر یک از زیر‌حوضه‌ها وزن دهی نماید.

این پژوهش نشان می‌دهد در صورت تعیین مناطق حساس به فرسایش و نفوذپذیری و تلفیق آن‌ها می‌توان در برنامه‌های اجرایی کاهش فرسایش و رسوب و تولید رواناب بهره برد.

- Source Area at Regional Level, Journal of Physics & Chemistry of the earth,(2-3) 22pp.
- 11- Fayznia, S.,(1995), Rock resistance against corrosion in different Aqalym Iran, Iranian Journal of Natural Resources. 47:95-116pp.
- 12- Fayznia, S., Dastorani, J., Ahmadi, H., and Ghoddosi, J., (2008), Susceptibility to erosion and geological formations Sediment Basin in Iran. University College of Natural Resources. 61(1):13-27pp.
- 13- Fayznia, S., and Khosheghbal, M., (2004), The final report of the project susceptibility to erosion of rocks and geological formations in the watershed Latyan, Department of Watershed Management Watershed Assessment and Sediment Survey and Assessment.: 185P.
- 14- Fayznia, S., and Khosheghbal, M., (2003), Susceptibility of geological formations and erosion in the watershed Latyan. Iranian Journal of Natural Resources, 56(4):365-383pp.
- 15- Fayznia, S., Sharifi, F., and Zare, M., (2003), Susceptibility to erosion in the watershed Chndab Varamin. Journal of Research and Development. 61:33-68pp.
- 16- Haregeweyn, N., Poesen, J., Nyssen, J., Verstraeten, G., Vente, G., Govers, S., Deckers, S., and Igwe, C. A., (2003), Erodibility of soils of the upper rainforest zone, Southeastern Nigeria. Land Degrad and Develop. 334pp.
- 17- Johnson, C.W., and Gebhardt, K.A., (1982), Predicting sediment yields from sagebrush rangelands presented at Nevada-Utah, BLM watershed workshop.65P.
- 18- Khaksar, k., Goodarzi, M., GharibReza, M., and Rahmati, M., (2006), Determining susceptibility to erosion Maharlou Basin geological formations. Journal of Earth Sciences. 16(62): 14P.
- 19- Nadersefat, M., and Saeidian, F., (2010), Study of flooding in the watershed of the permeability and runoff potential in geological formations (Case Study – Kardeh Khorasan Razavi). 4(12):163-198pp.
- 20- Pedrami, M., (1993), Book review of the stratigraphic time Neogene-Quaternary of Fargas, D., Martinez, J. A., and Poch. R.M., (1997),Identification of Critical Sediment Section 4. Quaternary system. Publisher: Geological Survey.130P.
- 21- Persyn, R. A., Glanville, T. D., Richard T.L. Laflen, J. M., and Dixon, P.M., (2004), Environmental effects of applying composted organics to new highway embankments. Part 1, Trans. ASAE 47(2): 463-469pp.
- 22- QuliPuri, N., Ghazanfari, C., Ahmadifard, F., and Baloti, Sh., (2009), Erodible formations and forms of erosion on the North Branch watershed Verde MPSIAC environment using ILWIS. Journal of sediments and sedimentary rocks, 2(7):73-88pp.
- 23- Riebe, C.S., Kirchner, J.W., Granger, D. E., and Finkel, R. C., (2001), Minimal Climatic Control on Erosion Rates in the Sierra Nevada, California, Geological Survey of America, Geology, 29(5):447-450pp.
- 24- Saeidian, C., and Moradi, H., (2013), Erosion and sedimentation of deposits on the different user Aghajary. Science and Technology of Agriculture and Natural Resources, Soil and Water Sciences, 17(64): 209-220pp.
- 25- Shallow Water Technology Consulting Company., (2004), Madan groundwater catchment of Alamut - Qazvin. 48P.
- 26- ShariatJafari, M., Ghayoumian, M., and Payroan, J., (2006), Inter susceptibility to weathering and erosion of geological formations in sedimentary basins located in the area- a structural subcontinent, central Iran. Journal of Science Teacher Education. 6(2):709-722pp.
- 27- Uromeihy, A., and Safaie, M., (2000), Effect of land use on the development of slope instability in the neka-rood Watershed. Iran. J. Nepal Geological Soc. 22:421-428pp.
- 28- Yamani, M., and Ebrahimkhani, N., (2010), Erodible alluvial formations indicate assess the sedimentology (Case Study: Haji Arab basin in the Qazvin province). Journal of Geography,8(24):6986pp.

- 29- Writtenreport,Hunt,J.M.,(1996), Petroleum
Geochemistry and Geology, 2nd Edition: W.H.
Freeman and Company, New York, 743 P.